

К. т. н. Б. А. ШАНГЕРЕЕВА

Россия, г. Махачкала, Дагестанский гос. технический ун-т  
E-mail: bijke@mail.ruДата поступления в редакцию  
02.04—20.11 2007 г.Оппонент д. х. н. В. Н. ТОМАШИК  
(ИФП им. В. Е. Лашкарёва, г. Киев)

## ДИФФУЗИЯ ФОСФОРА С ПРИМЕНЕНИЕМ ТВЕРДОГО ПЛАНАРНОГО ИСТОЧНИКА В ПРОИЗВОДСТВЕ ИНТЕГРАЛЬНЫХ СХЕМ

*Полученные оптимальные технологические режимы процесса диффузии фосфора с применением твердого планарного источника позволяют получать транзисторы с улучшенными электрофизическими характеристиками.*

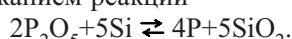
При изготовлении полупроводниковых приборов и интегральных схем часто проводят диффузию различных примесных элементов в исходный монокристаллический полупроводниковый материал (германний, кремний, арсенид галлия и др.). Диффузия примесей необходима и для получения полупроводникового материала определенного типа проводимости, создания в нем активных областей с требуемой концентрацией носителей заряда определенного знака, образования в объеме монокристалла *p-n*-переходов.

Для осуществления диффузии фосфора кремниевую пластину помещают в нагретую до высокой температуры кварцевую трубу диффузионной печи и через нее пропускают пары легирующей примеси, которые адсорбируются на поверхности пластины и затем диффундируют в кристаллическую решетку.

Отличительной особенностью диффузии фосфора в планарной технологии является то, что примесь вводят в кремниевую пластину локально, в ограниченные защитной маской окна, а сам процесс осуществляется в две стадии: предварительная загонка нужного количества примесей и последующая разгонка на требуемую глубину для достижения необходимого уровня концентрации.

Диффузанты, используемые для формирования легированных слоев *p*- и *n*-типа в технологии изготовления полупроводниковых приборов и интегральных микросхем, представляют собой соединения донорной примеси с водородом, галогеном, кислородом или другими элементами. Они подразделяются на газообразные, жидкые и твердые [1, 2].

Твердые планарные источники диффузии фосфора при нагревании выделяют пятиокись фосфора в газовую fazу. Молекулы  $P_2O_5$  диффундируют к поверхности кремниевых пластин с последующим протеканием реакции



В результате образуется слой фосфорно-силикатного стекла, из которого происходит диффузия фосфора в объем кремния [2, с. 178, 179; 3].

При базовом технологическом процессе формирования активной области *n*-типа для мощных транзисторов используется жидкий диффузант  $POCl_3$  (оксихлорид фосфора), что создает проблемы в управлении технологическим процессом и приводит к получению нестабильных результатов. В связи с этим нами была проведена работа по определению оптимальных технологических режимов диффузии фосфора с применением твердого планарного источника.

Основными технологическими факторами, влияющими на процесс диффузии и на параметры получаемой структуры, являются температура проведения процесса, время, расстояние между источником примеси и пластиной в кварцевой кассете и расход технологических газов. Основными контролируемыми параметрами в нашем случае являлись глубина залегания *p-n*-перехода ( $x_p$ , мкм) и поверхностное сопротивление диффузионного слоя ( $R_S$ , Ом/□). Полученные экспериментальные данные приведены в табл. 1.

Из анализа полученных результатов можно сделать вывод, что с увеличением расстояния между источником примеси и пластиной при постоянных температуре и времени процесса глубина *p-n*-перехода уменьшается. Увеличение температуры и времени проведения процесса при неизменном расстоянии между источником примеси и пластиной приводит к возрастанию глубины *p-n*-перехода.

Таблица 1  
*Технологические режимы активной области диффузии фосфора*

| Газ              | Расход газа, л/ч | Температура, °C | Время, мин | Сопротивление $R_S$ , Ом/□ |
|------------------|------------------|-----------------|------------|----------------------------|
| Загонка фосфора  |                  |                 |            |                            |
| Кислород         | 37,8             | 1100            | 60         | $0,60 \pm 0,05$            |
| Азот             | 740              |                 |            |                            |
| Водород          | 7,5              |                 |            |                            |
| Разгонка фосфора |                  |                 |            |                            |
| Кислород         | 37,8             | 1250            | 60×90      | $0,25 \pm 0,05$            |
| Азот             | 740              |                 |            |                            |
| Водород          | 7,5              |                 |            |                            |

## ТЕХНОЛОГИЧЕСКИЕ ПРОЦЕССЫ И ОБОРУДОВАНИЕ

Для проведения диффузии фосфора пластины после химической обработки загружали в кварцевую кассету. Вначале загружали пластины твердого планарного источника (**ТПИ**), а затем кремниевые пластины. Расстояние между пластиной ТПИ и кремниевой пластиной составляло 4,0 мм. Контроль  $R_S$  проводили по пяти точкам на каждой пластине с использованием установки FPP-5000.

Из **рис. 1** видно, что с увеличением температуры процесса и времени его проведения сопротивление диффузационного слоя уменьшается. Для заданного сопротивления диффузационного слоя ( $0,6 \pm 0,1 \text{ Ом}/\square$ ) при формировании активной области диффузии фосфора температура процесса составляет  $1100^\circ\text{C}$  и время его проведения — 60 мин, а для разгонки ( $0,25 \pm 0,05 \text{ Ом}/\square$ ) температура процесса равна  $1250^\circ\text{C}$  и время его проведения — 90 ч.

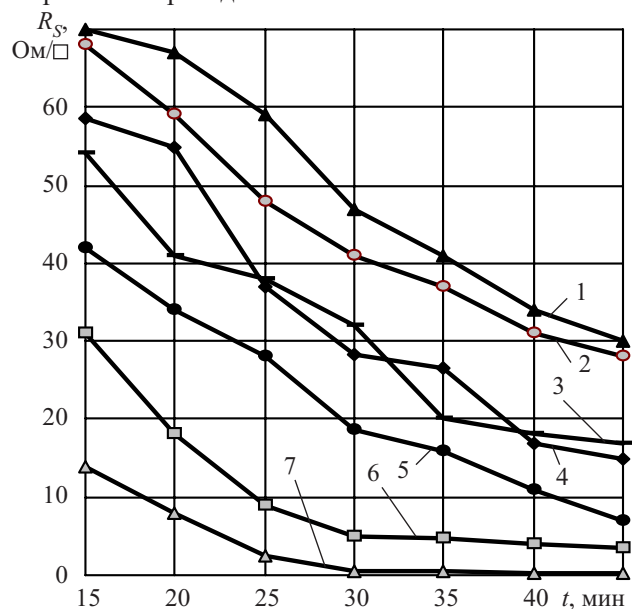


Рис. 1. Зависимость поверхностного сопротивления от времени проведения процесса загонки фосфора при различной температуре:

1 —  $900^\circ\text{C}$ ; 2 —  $900^\circ\text{C}$  (расчет); 3 —  $950^\circ\text{C}$  (расчет); 4 —  $950^\circ\text{C}$ ; 5 —  $1000^\circ\text{C}$ ; 6 —  $1050^\circ\text{C}$ ; 7 —  $1100^\circ\text{C}$

Для определения зависимостей поверхностного сопротивления от времени и температуры процесса при разгонке использовали пластины после загонки фосфора. На этапе загонки необходимо получить поверхностное сопротивление диффузационного слоя, равное  $0,6 \pm 0,05 \text{ Ом}/\square$ , а на этапе разгонки оно должно составлять  $0,25 \pm 0,025 \text{ Ом}/\square$ . Для этого использовали рабочие пластины после операции загонки фосфора и проводили процесс разгонки, изменяя температуру и время проведения процесса (**рис. 2**).

Для определения зависимости поверхностного сопротивления от глубины залегания  $p-n$ -перехода использовались пластины после разгонки фосфора.

Из анализа полученных зависимостей видно (рис. 1, 2), что при увеличении температуры проведения процесса и уменьшении поверхностного сопротивления глубина залегания диффузационного слоя увеличивается. Необходимую глубину залегания, находящуюся при загонке фосфора в пределах  $x_j=60 \text{ мкм}$ ,

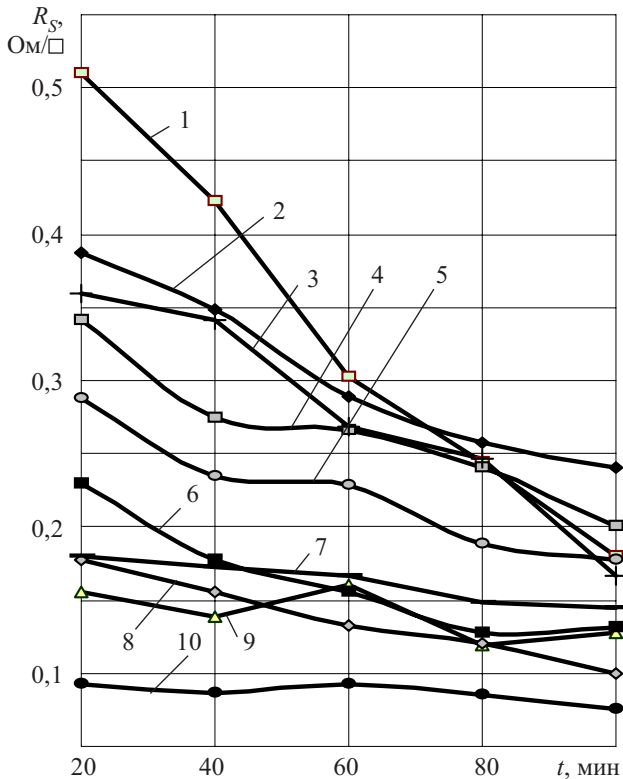


Рис. 2. Зависимость поверхностного сопротивления от времени проведения процесса разгонки фосфора при различной температуре:

1 —  $1300^\circ\text{C}$ ; 2 —  $1250^\circ\text{C}$ ; 3 —  $1250^\circ\text{C}$  (расчет); 4 —  $1150^\circ\text{C}$  (расчет); 5 —  $1200^\circ\text{C}$  (расчет); 6 —  $1150^\circ\text{C}$ ; 7 —  $1300^\circ\text{C}$  (расчет); 8 —  $1100^\circ\text{C}$  (расчет); 9 —  $1200^\circ\text{C}$ ; 10 —  $1100^\circ\text{C}$

получали при температуре проведения процесса  $1100^\circ\text{C}$  и времени 30 мин, а при разгонке глубину залегания  $p-n$ -перехода  $x_j=100 \pm 10 \text{ мкм}$  получали при  $1250^\circ\text{C}$  в течение 90 ч при соответствующем поверхностном сопротивлении.

Оптимальные режимы проведения процесса диффузии фосфора с применением твердого диффузанта фосфора (**ТПИ**) приведены в **табл. 2**. После окончания разгонки фосфора проводили измерение глубины диффузии методом косого шлифа [2]. Глубина диффузии соответствовала 100 мкм.

Таблица 2  
Оптимальные технологические режимы проведения процесса диффузии фосфора

| Диффузия фосфора     | Поверхностное сопротивление $R_s$ , $\text{Ом}/\square$ | Температура процесса, $^\circ\text{C}$ | Время  | Глубина диффузационного слоя, мкм |
|----------------------|---|--|--------|-----------------------------------|
| I стадия (загонка)   | $0,60 \pm 0,05$   | 1100                                   | 60 мин | 20—25                             |
| II стадия (разгонка) | $0,25 \pm 0,025$  | 1250                                   | 90 ч   | $100 \pm 10$                      |

По результатам исследования определены оптимальные технологические режимы диффузии фосфора с применением ТПИ (**табл. 3**) для формирования активной области силового кремниевого тран-

## ТЕХНОЛОГИЧЕСКИЕ ПРОЦЕССЫ И ОБОРУДОВАНИЕ

Таблица 3

*Оптимальные технологические режимы проведения диффузии фосфора с использованием твердого планарного источника*

| Операция  | Режим   |
|---|---|
| Формирование партии пластин и химическая обработка пластин  | Химическая обработка в двух ваннах:<br>в 1-й ванне раствор $H_2SO_4:H_2O_2=10:1$ при $125^{\circ}C$ ;<br>во 2-й ванне раствор $NH_4OH:H_2O_2:H_2O=1:4:20$ при $65^{\circ}C$<br>Время обработки — по 5 мин в каждой ванне  |
| Диффузия фосфора (I стадия)   | Расход газов: $O_2 = 37,8 \pm 0,5$ л/ч; $N_2 = 740$ л/ч; $H_2 = 7,5$ л/ч;<br>температура процесса $1100^{\circ}C$ ; время процесса 60 мин   |
| Снятие фосфоросиликатного стекла, измерение поверхностного сопротивления и глубины диффузионного слоя                     | В растворе $HF:H_2O (1:5)$ ; время снятия определяется по скатыванию раствора с пластины (1—1,5 мин); контроль поверхностного сопротивления проводится на установке FPP-5000: $R_s = 0,6 \pm 0,1$ Ом/□;<br>измерение глубины диффузионного слоя (шар-шлиф): $x_f = 20 \dots 25$ мкм |
| Химическая обработка пластин и пирогенное окисление [ $\delta(SiO_2) = 2$ мкм]  | В двух ваннах: в 1-й ванне раствор $H_2SO_4:H_2O_2=10:1$ при $125^{\circ}C$ ,<br>во 2-й — раствор $NH_4OH:H_2O_2:H_2O=1:4:20$ при $65^{\circ}C$ ; по 5 мин в каждой ванне; окисление при $1000^{\circ}C$ , время окисления — 320 мин  |
| Диффузия фосфора (II стадия)  | Расход газов: $O_2 = 37,8 \pm 0,5$ л/ч; $N_2 = 740$ л/ч;<br>температура процесса $1260^{\circ}C$ ; время разгонки — 60 ч  |
| Полное снятие окисла; измерение поверхностного сопротивления; измерение глубины диффузионного слоя (методом косого шлифа) | В буферном растворе $NH_4F:HF=6:1$ ; контроль поверхностного сопротивления на установке FPP-5000: $R_s = 0,25 \pm 0,025$ Ом/□;<br>измерение глубины диффузионного слоя под микроскопом «Эрголюкс» и с помощью шаблона: $x_f = 100 \pm 10$ мкм                                       |

исторта, при которых обеспечивается глубина диффузионного слоя  $100 \pm 10$  мкм.

Анализ результатов исследований показал, что способ диффузии фосфора с использованием жидких источников характеризуется сильной зависимостью параметров диффузионных слоев от кинетики реакции взаимодействия паров диффузанта с кислородом в диффузионной трубе, а также влиянием ряда других технологических факторов (температура жидкого диффузанта, скорость и состав газового потока, геометрия расположения кремниевых пластин). В связи с этим диффузия примесей из твердого планарного источника представляет наибольший интерес при получении однородных структур на пластинах кремния большого диаметра.

Представленная технология проведения процесса диффузии фосфора с применением твердого планарного источника обеспечивает ряд существенных преимуществ:

— улучшение управляемости процессом диффузии фосфора, что позволяет повысить пробивное напряжение  $p-n$ -переходов;

- увеличение коэффициента усиления на пластинах и в партиях;
- снижение плотности структурных дефектов в  $p-n$ -переходах и понижение величины коэффициента шума;
- значительное понижение токсичности процесса;
- высокая производительность за счет максимального использования рабочей зоны диффузионной трубы.

Таким образом, полученные оптимальные технологические режимы процесса диффузии фосфора с применением твердого планарного источника позволяют получать транзисторы с улучшенными электрофизическими характеристиками.

### ИСПОЛЬЗОВАННЫЕ ИСТОЧНИКИ

1. Технология производства интегральных микросхем и микропроцессоров / Под ред. В. Н. Черняева.— М.: Радио и связь, 1987.
2. Курносов А. И. Материалы для полупроводниковых приборов и интегральных микросхем.— М.: Высшая школа, 1980.
3. Готра З. Ю. Технология микроэлектронных устройств / Справочник.— М.: Радио и связь, 1991.

### НОВЫЕ КНИГИ

НОВЫЕ КНИГИ



#### Вильнав Ж.-Ж. Клеевые соединения.— М.: Техносфера, 2007.— 384 с.

Книга состоит из двух частей: теоретической и практической. В первой рассматриваются теоретические модели адгезии, комплекс проблем, связанных с обеспечением межфазного контакта и влияние структуры полимеров на когезионную прочность. Во второй части приведены практические рекомендации по склеиванию. Подробно рассмотрены методы подготовки поверхностей, изложены общие принципы выбора клеев и приведены характеристики основных видов kleящих материалов. В каждой главе читатель найдет ссылки на web-ресурсы.

Книга предназначена для преподавателей, студентов, конструкторов и технологов промышленных предприятий.